

# 第7章 离散时间信号与系统的频域分析

## 7.1 离散时间傅里叶变换

## 7.2 常用序列的傅里叶变换

## 7.3 离散时间序列傅里叶变换的性质

## 7.4 离散时间系统的频域分析

## 7.5 数字滤波器的概念

## 7.6 离散信号与系统频域的MATLAB分析

# 7.1 离散时间傅里叶变换

## ► 第4章——连续时间信号的频域表示与分析

非周期信号 $f(t)$ 的傅里叶变换:

$$F(j\Omega) = \int_{-\infty}^{\infty} f(t)e^{-j\Omega t} dt$$

----- 连续谱、相对幅度

傅里叶逆变换

$$f(t) = \frac{1}{2\pi} \int_{-\infty}^{\infty} F(j\Omega)e^{j\Omega t} d\Omega$$

$$F(j\Omega) = |F(j\Omega)|e^{j\varphi(\Omega)}$$

$|F(j\Omega)|$  ----- 幅度谱       $\varphi(\Omega)$  ----- 相位谱

# 7.1 离散时间傅里叶变换

## 7.1.1 离散时间傅里叶变换

◆ 序列 $x[n]$ 进行复指数加权求和，从而表示成连续的函数——离散时间傅里叶变换（DTFT） $X(e^{j\omega})$ ，即。

$$\text{DTFT: } X(e^{j\omega}) = \sum_{n=-\infty}^{\infty} x[n]e^{-j\omega n}$$

$$\text{或者 } X(e^{j\Omega T}) = \sum_{n=-\infty}^{\infty} x[n]e^{-j\Omega T n}$$

其中： $\Omega$  ----- 模拟角频率， $T$  ----- 取样间隔

$$\omega = \Omega T \quad (\text{为数字频率})$$

上两式是序列 $x[n]$ 的傅里叶变换两种不同的表示形式。

**DTFT存在的充分条件：**

$$\sum_{n=-\infty}^{\infty} |x[n]| < \infty$$

## 7.1.1 离散时间傅里叶变换

$$\text{DTFT: } X(e^{j\omega}) = \sum_{n=-\infty}^{\infty} x[n]e^{-j\omega n}$$

$$\xleftrightarrow{\text{IDTFT}} x[n] = \frac{1}{2\pi} \int_0^{2\pi} X(e^{j\omega}) e^{jn\omega} d\omega$$

**例7.1-1** 求序列  $x[n] = a^n u[n]$  ( $|a| < 1$ ) 的傅里叶变换  $X(e^{j\omega})$ 。

**解:** 据DTFT: 
$$X(e^{j\omega}) = \sum_{n=-\infty}^{\infty} x[n]e^{-j\omega n} = \sum_{n=-\infty}^{\infty} a^n u[n]e^{-j\omega n}$$
$$= \sum_{n=0}^{\infty} (ae^{-j\omega})^n = \frac{1}{1 - ae^{-j\omega}} = \frac{1}{1 - a(\cos \omega - j\sin \omega)}$$
$$= \frac{1}{\sqrt{1 + a^2 - 2a \cos \omega}} e^{-j\arctan\left(\frac{a \sin \omega}{1 - a \cos \omega}\right)}$$

## 7.1.2 DTFT特点与性质

$$x[n] \xleftrightarrow{\text{DTFT}} X(e^{j\omega})$$

(1) 若序列 $x[n]$ 的DTFT  $X(e^{j\omega})$ ，其自变量 $\omega$ 为实变量，但函数值一般是复数值的复值函数；

$$X(e^{j\omega}) = |X(e^{j\omega})| e^{j\varphi(\omega)}$$

幅度谱 ↙ ↘ 相位谱

$$X(e^{j\omega}) = X_{\text{re}}(e^{j\omega}) + j X_{\text{im}}(e^{j\omega})$$

(2) DTFT  $X(e^{j\omega})$ 是周期函数，周期为 $2\pi$ ，因为复指数  $e^{j\omega}$  是周期为 $2\pi$ 的周期函数；

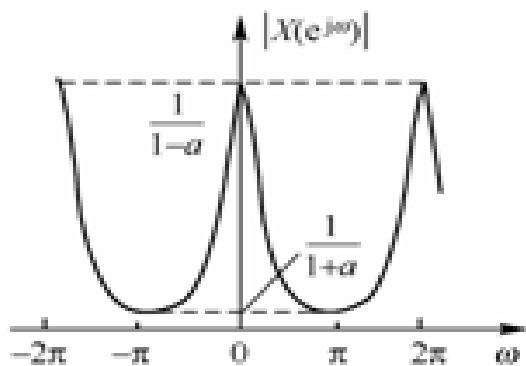
(3) 如果实序列 $x[n]$ **绝对可和**，则其DTFT  $X(e^{j\omega})$ 的自变量 $\omega$ 是连续变量，而 $X(e^{j\omega})$ 是连续的复值函数。

## 7.1.2 DTFT特点与性质

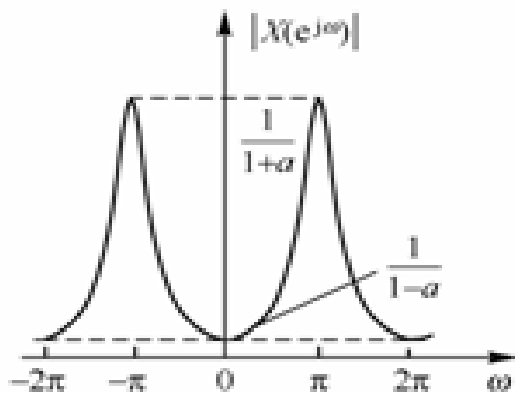
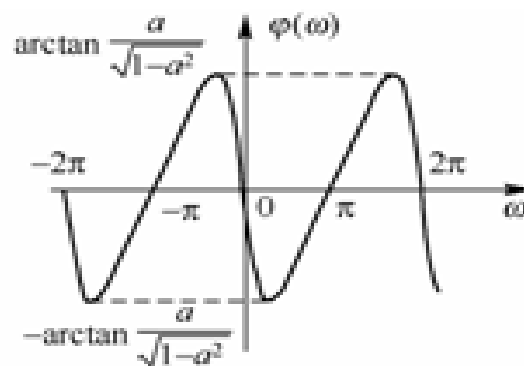
**例7.1-1**  $x[n] = a^n u[n]$  ( $|a| < 1$ ) 的  $X(e^{j\omega}) = \frac{1}{1 - ae^{-j\omega}} = \frac{1}{1 - a \cos \omega + ja \sin \omega}$

$$|X(e^{j\omega})| = \frac{1}{\sqrt{1 + a^2 - 2a \cos \omega}}$$

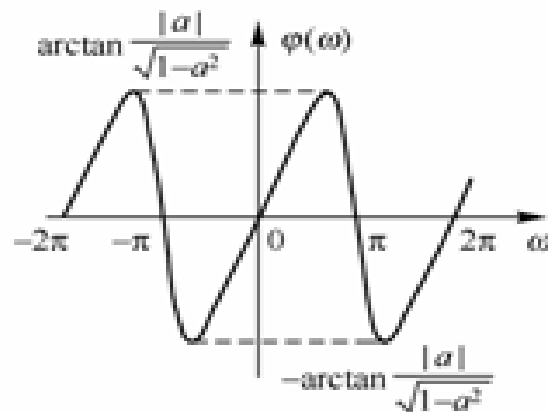
$$\varphi(\omega) = -\arctan\left(\frac{a \sin \omega}{1 - a \cos \omega}\right)$$



(a)  $0 < a < 1$



(b)  $-1 < a < 0$

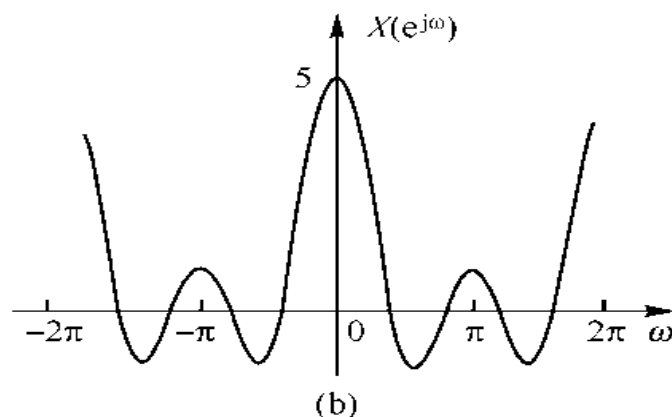
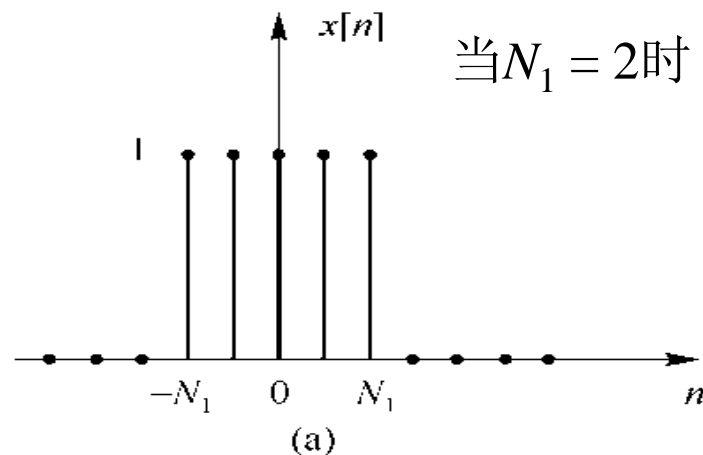


## 7.1.2 DTFT特点与性质

**例7.1-2** 计算矩形脉冲序列 $x[n] = u[n + N_1] - u[n - (N_1 + 1)]$ 的傅里叶变换 $X(e^{j\omega})$ ，当 $N_1 = 2$ 时，画出其频谱图形。

**解：**

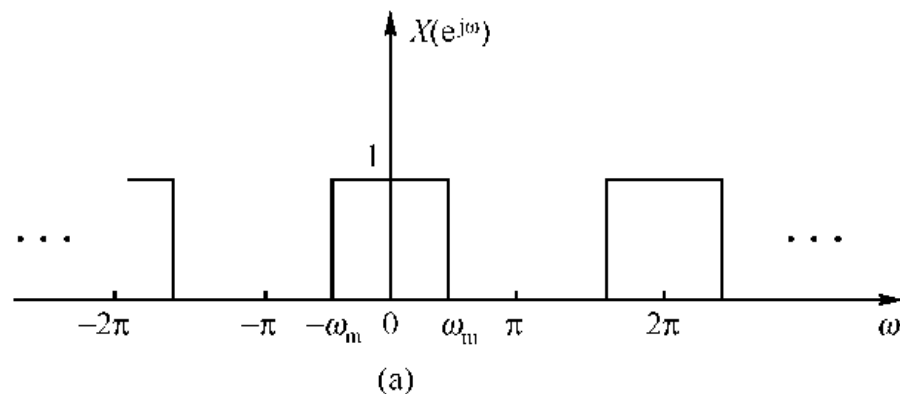
$$\begin{aligned} X(e^{j\omega}) &= \sum_{n=-\infty}^{\infty} x[n]e^{-j\omega n} = \sum_{n=-N_1}^{N_1} e^{-j\omega n} \\ &= \frac{e^{j\omega N_1} - e^{-j\omega(N_1+1)}}{1 - e^{-j\omega}} \\ &= \frac{\sin[\omega(N_1 + 1/2)]}{\sin(\omega/2)} \end{aligned}$$



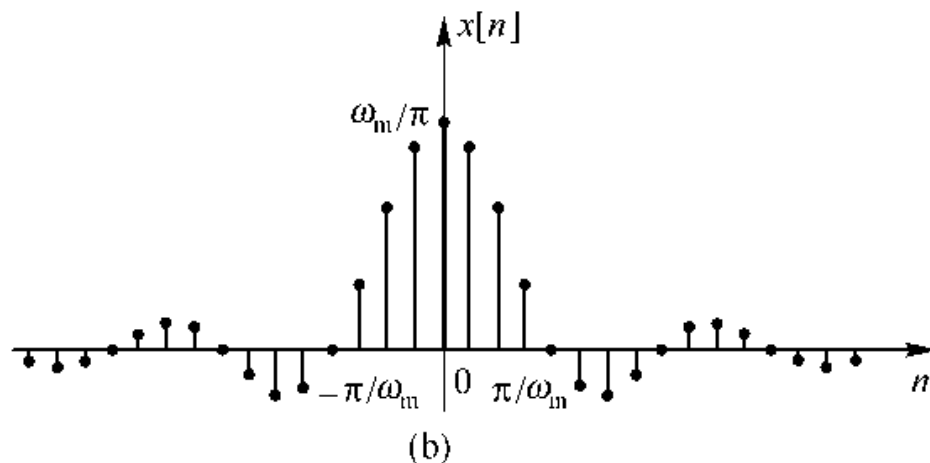
## 7.1.2 DTFT特点与性质

**例7.1-3** 已知序列 $x[n]$ 的频谱 $X(e^{j\omega})$ 如右图所示，求其逆变换即IDTFT  $x[n]$ 。

**解：**



当 $\omega_m = \pi/4$ 时， $x[n]$ 如图所示：



$$x[n] = \frac{1}{2\pi} \int_{-\pi}^{\pi} X(e^{j\omega}) e^{j\omega n} d\omega$$

$$= \frac{1}{2\pi} \int_{-\omega_m}^{\omega_m} e^{j\omega n} d\omega$$

$$= \frac{\omega_m}{\pi} \cdot \frac{\sin \omega_m n}{\omega_m n}$$



## 7.1.3 序列DTFT与采样信号傅里叶变换的联系

### 1. 离散序列 $x[n]$ 与采样信号 $x_s(t)$

离散序列:  $x[n] = x_1(t) \Big|_{t=nT} = x_1(nT)$

采样信号:  $x_s(t) = x_1(t) \cdot \sum_{n=-\infty}^{\infty} \delta(t - nT) = \sum_{n=-\infty}^{\infty} x_1(nT) \delta(t - nT)$

### 2. 各自的傅里叶变换:

$$x[n] \xleftrightarrow{\text{DTFT}} X(e^{j\omega}) = \sum_{n=-\infty}^{\infty} x[n] e^{-j\omega n}$$

$$x_s(t) \xleftrightarrow{\text{CTFT}} X_s(j\Omega) = \int_{-\infty}^{\infty} x_s(t) e^{-j\Omega t} dt$$

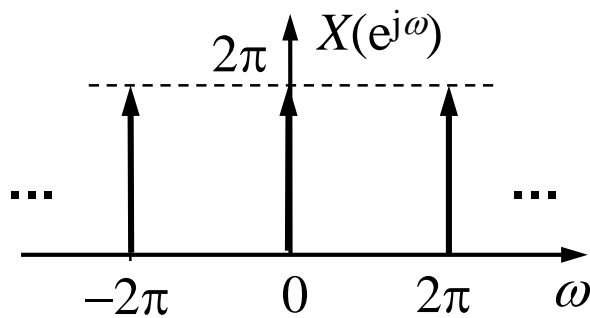
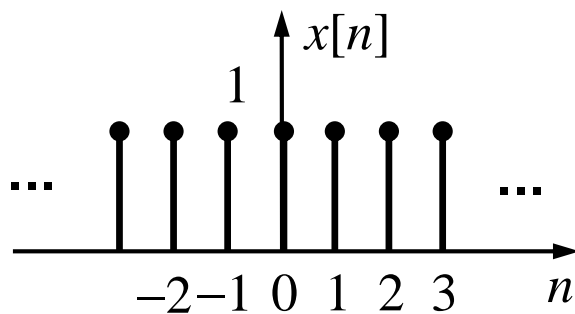
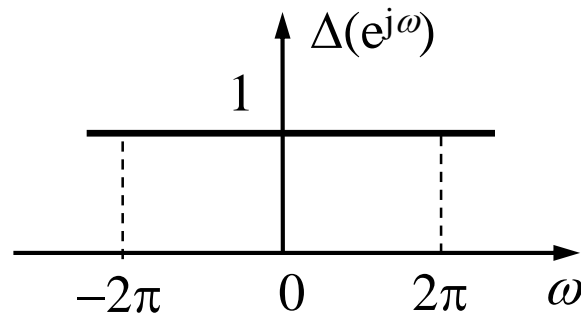
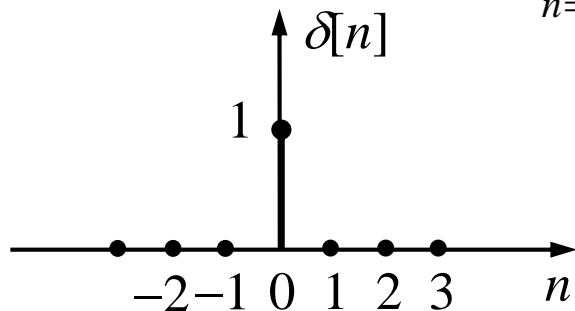
$$\text{即 } X_s(j\Omega) = \int_{-\infty}^{\infty} \left[ \sum_{n=-\infty}^{\infty} x_1(nT) \delta(t - nT) \right] e^{-j\Omega t} dt$$

$$= \sum_{n=-\infty}^{\infty} x_1(nT) \int_{-\infty}^{\infty} \delta(t - nT) e^{-j\Omega t} dt = \sum_{n=-\infty}^{\infty} x[n] e^{-jn\Omega T}$$

## 7.2 常用序列的傅里叶变换

### 1. 常用序列 $x[n]$ 及其傅里叶变换 (DTFT)

$$\delta[n] \xleftrightarrow{\text{DTFT}} \Delta(e^{j\omega}) = \sum_{n=-\infty}^{\infty} \delta[n] e^{-j\omega n} = 1$$



$$x[n] = \frac{1}{2\pi} \int_{-\pi}^{\pi} X(e^{j\omega}) e^{j\omega n} d\omega = \int_{-\pi}^{\pi} \delta(\omega) e^{j\omega n} d\omega = 1$$

$$\text{即 } x[n] = 1 \xleftrightarrow{\text{DTFT}} X(e^{j\omega}) = 2\pi \sum_{k=-\infty}^{\infty} \delta(\omega - 2\pi k)$$

## 7.2 常用序列的傅里叶变换

### 1. 常用序列 $x[n]$ 及其傅里叶变换 (DTFT)

$$R_N[n] = u[n] - u[n - N]$$

$$\xleftrightarrow{\text{DTFT}} R_N(e^{j\omega}) = \sum_{n=0}^{N-1} e^{-j\omega n} = e^{-j\frac{\omega(N-1)}{2}} \frac{\sin(\omega N / 2)}{\sin(\omega / 2)}$$

$$a^n u[n] \xleftrightarrow{\text{DTFT}, |a| < 1} X(e^{j\omega}) = \frac{1}{1 - ae^{-j\omega}}$$

$$a^{|n|} = a^n u[n] + a^{-n} u[-n - 1]$$

$$\xleftrightarrow{\text{DTFT}, |a| < 1} X(e^{j\omega}) = \frac{1}{1 - ae^{-j\omega}} + \frac{ae^{j\omega}}{1 - ae^{j\omega}} = \frac{1 - a^2}{1 + a^2 - 2a \cos \omega}$$

$$a^n \cos \omega_0 n u[n] = \frac{1}{2} a^n e^{j\omega_0 n} u[n] + \frac{1}{2} a^n e^{-j\omega_0 n} u[n]$$

$$\xleftrightarrow{\text{DTFT}, |a| < 1} X(e^{j\omega}) = \frac{1}{2} \left[ \frac{1}{1 - ae^{-j(\omega - \omega_0)}} + \frac{1}{1 - ae^{-j(\omega + \omega_0)}} \right] = \frac{1 - a \cos \omega_0 e^{-j\omega}}{1 - 2a \cos \omega_0 e^{-j\omega} + a^2 e^{-j2\omega}}$$

## 7.2 常用序列的傅里叶变换

### 1. 常用序列 $x[n]$ 及其傅里叶变换 (DTFT)

$$u[n] \quad \text{已知 } x[n] = 1 \xleftrightarrow{\text{DTFT}} X(e^{j\omega}) = 2\pi \sum_{k=-\infty}^{\infty} \delta(\omega - 2\pi k)$$

$$\text{设 } x_2[n] = \begin{cases} \alpha^n, & n \geq 0 \\ -\alpha^{-n}, & n \leq -1 \end{cases}, 0 < \alpha < 1 \xleftrightarrow{\text{DTFT}} X_2(e^{j\omega}) = \frac{1 - 2\alpha e^{j\omega} + \alpha^2}{1 - 2\alpha \cos \omega + \alpha^2}$$

$$\text{和 } x_1[n] = \begin{cases} 1, & n \geq 0 \\ -1, & n \leq -1 \end{cases} \xleftrightarrow{\text{DTFT}} X_1(e^{j\omega})$$

$$\text{则 } x_1[n] = \lim_{\alpha \rightarrow 1} x_2[n] \Leftrightarrow X_1(e^{j\omega}) = \lim_{\alpha \rightarrow 1} X_2(e^{j\omega}) = \frac{2(1 - e^{j\omega})}{2(1 - \cos \omega)} = \frac{2}{1 - e^{-j\omega}}$$

$$\text{故 } u[n] = \frac{1}{2} \{x_1[n] + x[n]\} \xleftrightarrow{\text{DTFT}} U(e^{j\omega}) = \frac{1}{2} \{X_1(e^{j\omega}) + X(e^{j\omega})\}$$

$$\text{即 } U(e^{j\omega}) = \frac{1}{1 - e^{-j\omega}} + \pi \sum_{k=-\infty}^{\infty} \delta(\omega - 2\pi k)$$

## 7.3 DTFT的性质

假设:  $F_1(e^{j\omega}) = \text{DTFT}[f_1[n]]$  和  $F_2(e^{j\omega}) = \text{DTFT}[f_2[n]]$

**1 线性**  $\text{DTFT}[a_1 f_1[n] + a_2 f_2[n]] = a_1 F_1(e^{j\omega}) + a_2 F_2(e^{j\omega})$

推广到多个信号:  $\text{DTFT}\left[\sum_{i=1}^N a_i f_i[n]\right] = \sum_{i=1}^N a_i F_i(e^{j\omega})$

### 2. 位移性

时移:  $\text{DTFT}[f[n-m]] = e^{-j\omega m} F(e^{j\omega})$

频移:  $\text{DTFT}[e^{j\omega_0 n} f[n]] = F(e^{j(\omega-\omega_0)})$

**例1** 已知  $x[n] = 1 \xleftrightarrow{\text{DTFT}} X(e^{j\omega}) = 2\pi \sum_{k=-\infty}^{\infty} \delta(\omega - 2\pi k)$

则  $x_1[n] = e^{j\omega_0 n} \xleftrightarrow{\text{DTFT}} X_1(e^{j\omega}) = 2\pi \sum_{k=-\infty}^{\infty} \delta(\omega - \omega_0 - 2\pi k)$

## 7.3 DTFT的性质

### 3 频域微分特性

$$\text{DTFT}(nf[n]) = j \frac{dF(e^{j\omega})}{d\omega}$$

**例7.3-2** 求序列  $na^n u[n]$  ( $|a| < 1$ ) 的傅里叶变换。已知DTFT对

$$\text{DTFT}[a^n u[n]] = \frac{1}{1 - ae^{-j\omega}}, \quad |a| < 1$$

**解:**

$$\text{DTFT}[na^n u[n]] = j \frac{d}{d\omega} \left[ \frac{1}{1 - ae^{-j\omega}} \right] = \frac{ae^{-j\omega}}{(1 - ae^{-j\omega})^2}$$

类似:

$$\begin{aligned} \text{DTFT}[nu[n]] &= j \frac{d}{d\omega} \left[ \frac{1}{1 - e^{-j\omega}} + \pi \sum_{k=-\infty}^{\infty} \delta(\omega + 2\pi k) \right] \\ &= \frac{e^{-j\omega}}{(1 - e^{-j\omega})^2} + j\pi \sum_{k=-\infty}^{\infty} \delta'(\omega + 2\pi k) \end{aligned}$$

## 7.3 DTFT的性质

### 4 序列反褶

$$\text{DTFT}[f[-n]] = F(e^{-j\omega})$$

### 5 共轭与奇偶虚实性

$$\text{DTFT}[f^*[n]] = F^*(e^{-j\omega})$$

推断：（1）如果序列  $f[n]$  是实序列，即  $f[n] = f^*[n]$ ，则有

$$F(e^{j\omega}) = F^*(e^{-j\omega}) = |F(e^{j\omega})| e^{j\varphi(\omega)}$$

即

$$\begin{cases} |F(e^{j\omega})| = |F(e^{-j\omega})| & \text{-- 偶函数（幅度谱）} \\ \varphi(\omega) = -\varphi(-\omega) & \text{-- 奇函数（相位谱）} \end{cases}$$

（2）如果实序列  $f[n]$  是偶序列，即  $f[n] = f[-n]$ ，则有

$$F(e^{j\omega}) = F^*(e^{-j\omega}) = F(e^{-j\omega}) \quad (\text{实偶函数})$$

## 7.3 DTFT的性质

### 6 卷积定理

时域:  $\text{DTFT} [f_1[n] * f_2[n]] = F_1(e^{j\omega})F_2(e^{j\omega})$

频域:  $\text{DTFT} [f_1[n] \cdot f_2[n]] = \frac{1}{2\pi} \int_{-\pi}^{\pi} F_1(e^{j\theta})F_2(e^{j(\omega-\theta)})d\theta$   
 $= \frac{1}{2\pi} F_1(e^{j\omega}) * F_2(e^{j\omega})$

### 7 帕斯瓦尔定理:

$$\sum_{n=-\infty}^{\infty} |f[n]|^2 = \frac{1}{2\pi} \int_{-\pi}^{\pi} |F(e^{j\omega})|^2 d\omega$$



## 7.4 离散时间系统的频域分析

### LTI离散时间系统



若  $x[n] = \delta[n] \xrightarrow{\text{LTI离散系统}} y_{zs}[n] = h[n]$  ---- 单位样值响应

若  $x_i[n] \xrightarrow{\text{LTI离散系统}} y_{izs}[n] = x_i[n] * h[n]$

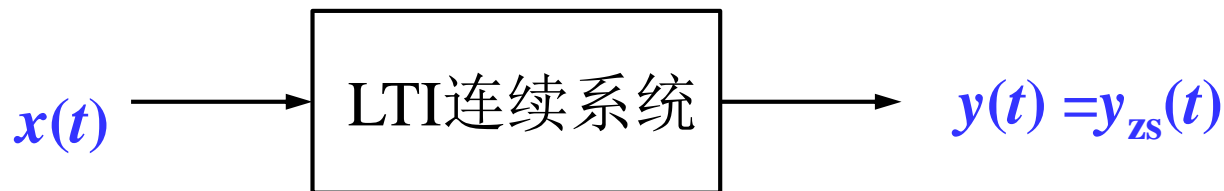
且  $x[n] = \sum_i a_i x_i[n] \xrightarrow{\text{LTI离散系统}} y_{zs}[n] = \sum_i a_i y_{izs}[n]$

$h[n] = h[n] u[n]$  (因果序列)  $\Leftrightarrow$  因果系统 (充要条件)

$\sum_{n=-\infty}^{\infty} |h[n]| = S_h < \infty$  (绝对可和)  $\Leftrightarrow$  稳定系统 (充要条件)

## 7.4 离散时间系统的频域分析

### LTI连续时间系统的频域分析



若  $x(t) = \delta(t) \xrightarrow{\text{LTI连续系统}} y_{zs}(t) = h(t)$  ---- 单位冲激响应

若  $x(t) = e^{j\Omega_0 t} \xrightarrow{\text{LTI连续系统}} y(t) = e^{j\Omega_0 t} * h(t) = e^{j\Omega_0 t} \int_{-\infty}^{\infty} h(\tau) e^{-j\Omega_0 \tau} d\tau$

稳定的LTI连续时间系统的频响特性  $H(j\Omega)$

$$H(j\Omega) = \mathcal{F}[h(t)] = \int_{-\infty}^{\infty} h(t) e^{-j\Omega t} dt$$

# 7.4 离散时间系统的频域分析

## 7.4.1 LTI离散时间系统的频响特性

1. 系统频域分析条件：稳定系统，即


$$\sum_{n=-\infty}^{\infty} |h[n]| = S_h < \infty \quad (\text{绝对可和})$$

2. 输入信号是复指数序列  $x[n] = e^{j\omega_0 n}$

$$y[n] = h[n] * x[n] = \sum_{m=-\infty}^{\infty} h[m] e^{j\omega_0(n-m)} = e^{j\omega_0 n} \sum_{m=-\infty}^{\infty} h[m] e^{-j\omega_0 m}$$

频响特性 

记  $H(e^{j\omega}) = \sum_{n=-\infty}^{\infty} h[n] e^{-j\omega n} \quad (h[n] \text{DTFT})$


$$y[n] = e^{j\omega_0 n} H(e^{j\omega_0}) \\ = |H(e^{j\omega_0})| e^{j[\omega_0 n + \varphi(\omega_0)]}$$

则  $\sum_{m=-\infty}^{\infty} h[m] e^{-j\omega_0 m} = H(e^{j\omega})|_{\omega=\omega_0} = |H(e^{j\omega_0})| e^{j\varphi(\omega_0)}$

## 7.4.1 LTI离散时间系统的频响特性

输入信号是正弦序列（余弦序列）

$$\text{即输入: } x[n] = \cos \omega_0 n = \frac{1}{2} e^{j\omega_0 n} + \frac{1}{2} e^{-j\omega_0 n}$$

$$\text{系统频响, 即 } h[n] \text{ 的DTFT } H(e^{j\omega}) = \sum_{n=-\infty}^{\infty} h[n] e^{-j\omega n}$$

为简化下面的计算, 设 $h[n]$ 是实序列（也称实系统）

$$\text{则 } H(e^{j\omega}) = H^*(e^{-j\omega})$$

利用LTI系统的线性性质和前述复指数输入的系统响应结果, 则有

$$\begin{aligned} y[n] &= \frac{1}{2} e^{j\omega_0 n} H(e^{j\omega_0}) + \frac{1}{2} e^{-j\omega_0 n} H(e^{-j\omega_0}) \\ &= \frac{1}{2} |H(e^{j\omega_0})| e^{j[\omega_0 n + \varphi(\omega_0)]} + \frac{1}{2} |H(e^{j\omega_0})| e^{-j[\omega_0 n + \varphi(\omega_0)]} \\ &= |H(e^{j\omega_0})| \cos(\omega_0 n + \varphi(\omega_0)) \end{aligned}$$

## 7.4.1 LTI离散时间系统的频响特性

### 3. 结论:

当稳定的LTI离散实系统的输入信号 $x[n]$ 为正弦信号 $\cos \omega_0 n$ 时, 其输出信号 $y[n]$ 也是正弦序列, 且与 $x[n]$ 具有相同的频率, 但其幅度是 $x[n]$ 乘以常数 $|H(e^{j\omega_0})|$ , 幅角加上常数 $\varphi(\omega_0)$ ,

$$|H(e^{j\omega_0})| e^{j\varphi(\omega_0)} = H(e^{j\omega})|_{\omega=\omega_0}$$

系统的频率响应特性

$$H(e^{j\omega}) = \sum_{n=-\infty}^{\infty} h[n] e^{-j\omega n}$$

$|H(e^{j\omega_0})|$  —— 幅频特性;

$\varphi(\omega_0)$  —— 相频特性

## 7.4.2 LTI离散时间系统频响特性的特点

$$h[n] \xleftrightarrow{\text{DTFT}} H(e^{j\omega})$$

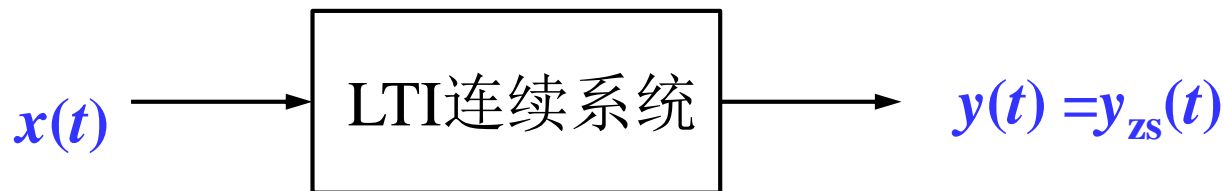
由于频响特性  $H(e^{j\omega})$  是单位样值响应序列  $h[n]$  的DTFT，因而具有DTFT的一般特点，即当  $h[n]$  绝对可和时，

- (1)  $H(e^{j\omega})$  是连续变量  $\omega$  的连续复值函数；
- (2)  $H(e^{j\omega})$  是以  $2\pi$  为周期的周期函数；
- (3) 如果  $h[n]$  是实序列，则

$$H^*(e^{j\omega}) = H(e^{-j\omega})$$

## 7.5 数字滤波器的概念

LTI连续时间系统：= 模拟滤波器



若  $x(t) = \delta(t) \xrightarrow{\text{LTI连续系统}} y_{zs}(t) = h(t)$  ---- 单位冲激响应

假设该系统稳定，则系统频响特性为：

$$H(j\Omega) = \mathcal{F}[h(t)] = \int_{-\infty}^{\infty} h(t) e^{-j\Omega t} dt$$

若输入信号  $x(t) \xrightarrow{\text{LTI连续系统}} y(t) = x(t) * h(t) = \int_{-\infty}^{\infty} h(\tau) x(t - \tau) d\tau$

频域：  $X(j\Omega) = \mathcal{F}[x(t)] \xrightarrow{\text{稳定LTI连续系统}} Y(j\Omega) = X(j\Omega)H(j\Omega)$

由于受到系统的作用，输出信号的频谱  $Y(j\Omega)$  不同于输入信号的频谱  $X(j\Omega)$ ，这样，连续系统也称为模拟滤波器。

# 7.5 数字滤波器的概念

## 7.5.1 数字滤波器原理



若  $x[n] = \delta[n] \xrightarrow{\text{LTI离散系统}} y_{zs}[n] = h[n]$  ---- 单位样值响应

若输入信号  $x[n] \xrightarrow{\text{LTI离散系统}} y[n] = x[n] * h[n] = \sum_{m=-\infty}^{\infty} h[m]x[n-m]$

假设该离散系统稳定，且系统频响特性为：

$$H(e^{j\omega}) = \text{DTFT}[h[n]] = \sum_{n=-\infty}^{\infty} h[n]e^{-j\omega n}$$

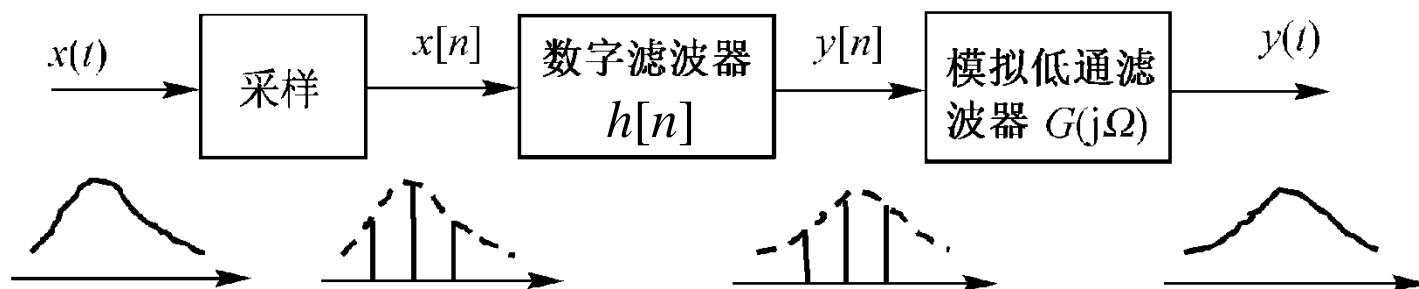
频域：  $X(e^{j\omega}) = \text{DTFT}[x[n]] \xrightarrow{\text{稳定LTI离散系统}} Y(e^{j\omega}) = X(e^{j\omega})H(e^{j\omega})$

离散时间系统 = 数字滤波器



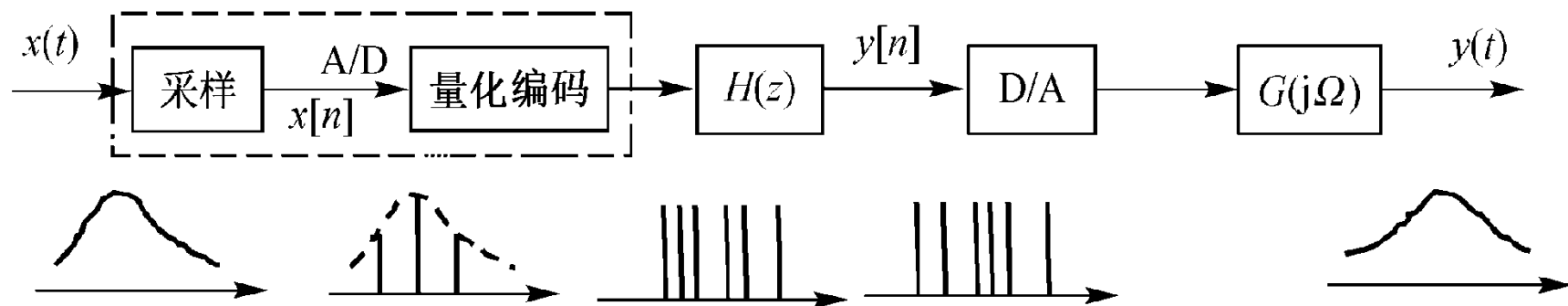
## 7.5.1 数字滤波器原理

### 1. 数字滤波器的典型应用及名称由来



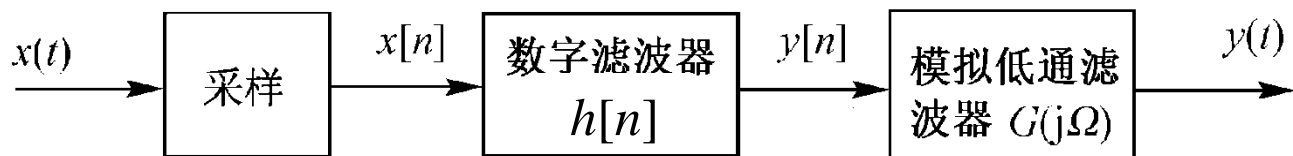
(a)

数字滤波器可以用专门的数字信号处理芯片实现，也可以由通用的计算机实现信号处理，这样，由采样得到的离散信号需进行量化和编码，转化成二进制数表示的**数字信号**。



(b)

## 7.5.1 数字滤波器原理



### 2. 数字滤波器应用中信号处理过程的典型表示

时域中:  $x[n] = x(t)|_{t=nT} = x(nT) \xrightarrow{h[n]} y[n] = x[n] * h[n]$

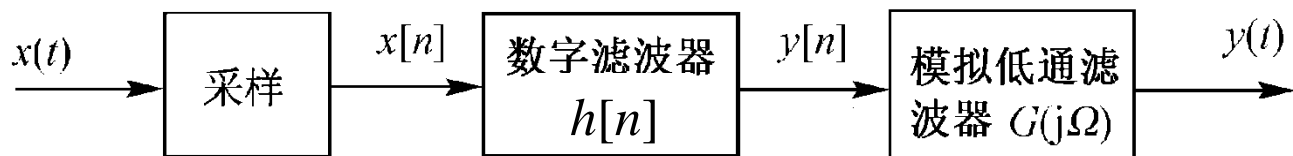
频域中:  $H(e^{j\omega}) = \text{DTFT}[h[n]] = \sum_{n=-\infty}^{\infty} h[n]e^{-j\omega n}$

$$X(e^{j\omega}) = \text{DTFT}[x[n]] \xleftrightarrow{\text{等价于}} X(e^{j\Omega T}) = \sum_{n=-\infty}^{\infty} x(nT)e^{-jn\Omega T} = X_s(j\Omega)$$

$$\xrightarrow{h[n] \leftrightarrow H(e^{j\omega})} Y(e^{j\omega}) = X(e^{j\omega})H(e^{j\omega})$$

$$\xrightarrow{h[n] \leftrightarrow H(e^{j\Omega T})} Y(e^{j\Omega T}) = X(e^{j\Omega T})H(e^{j\Omega T}) = Y_s(j\Omega)$$

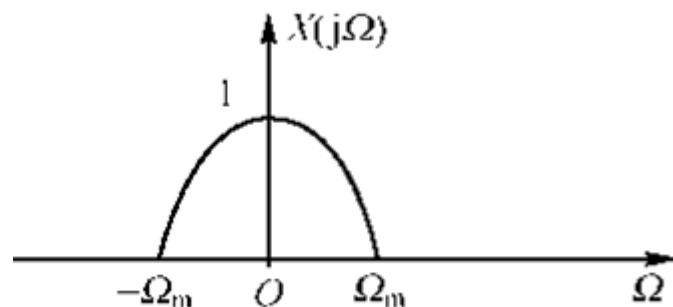
## 7.5.1 数字滤波器原理



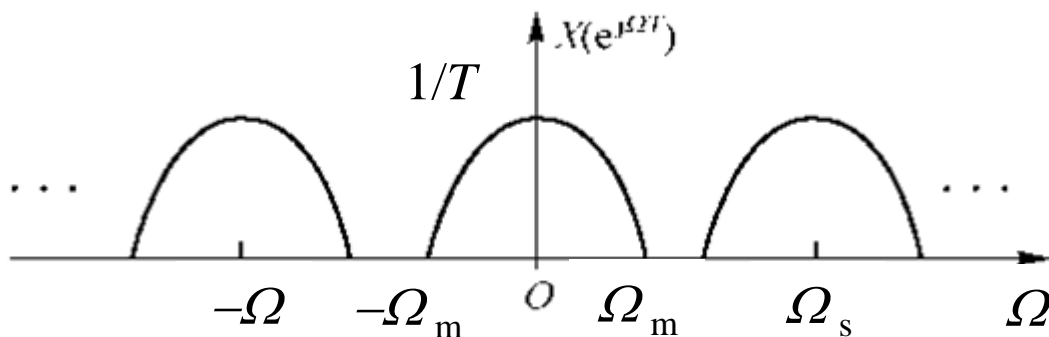
### 2. 数字滤波器应用中信号处理过程的典型表示

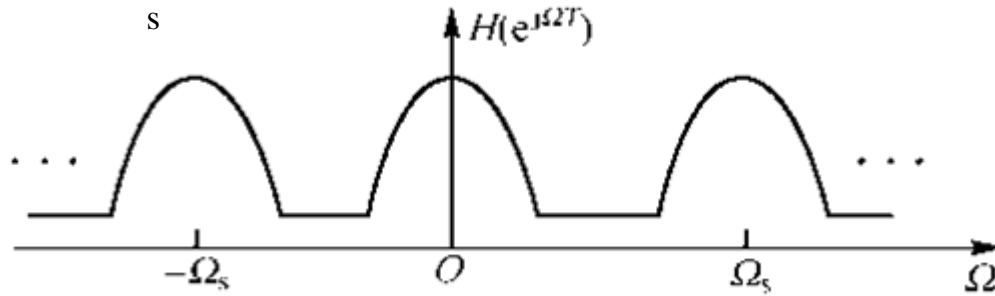
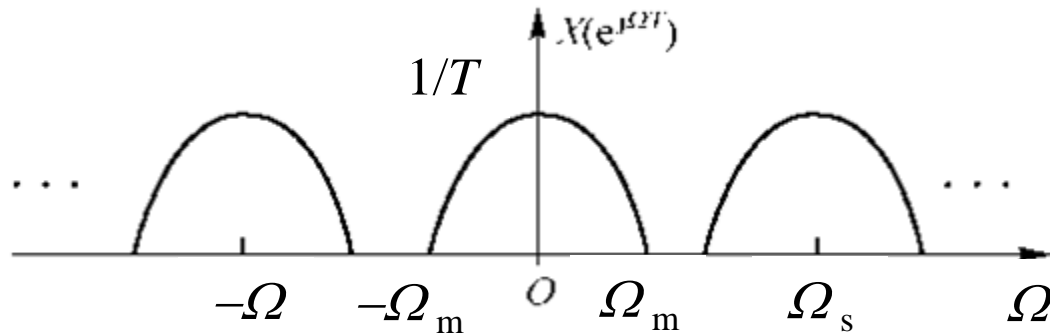
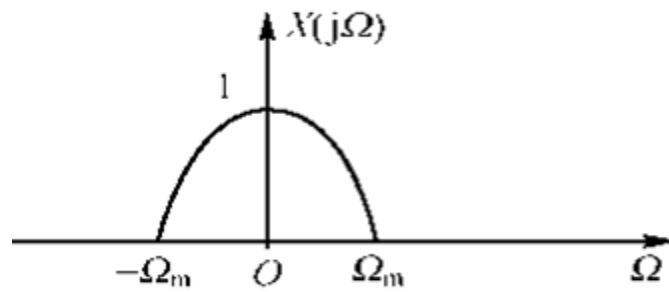
假设:  $x(t) \xleftrightarrow{\text{FT}} X(j\Omega) = 0, \quad |\Omega| \geq \Omega_m$

采样频率:  $\Omega_s = \frac{2\pi}{T} \geq 2\Omega_m$

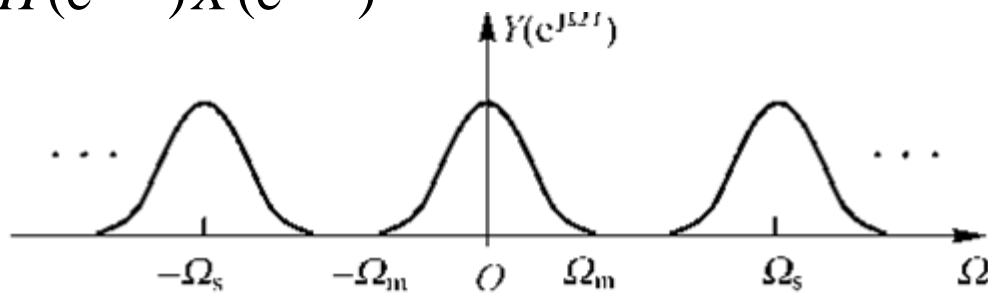


那么:  $X(e^{j\Omega T}) = X_s(j\Omega) = \frac{1}{T} \sum_{k=-\infty}^{\infty} X[j(\Omega - k\Omega_s)]$

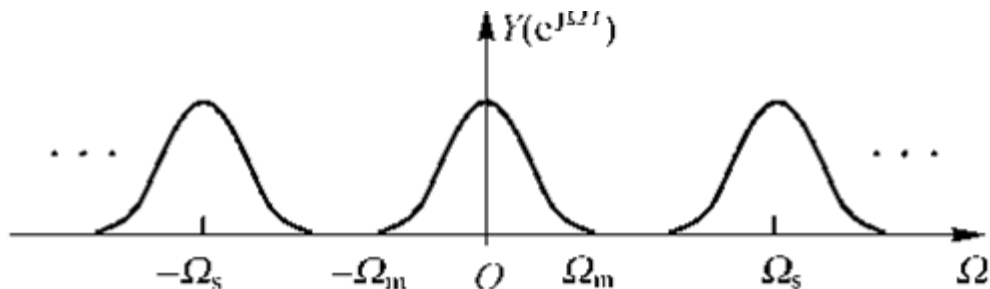
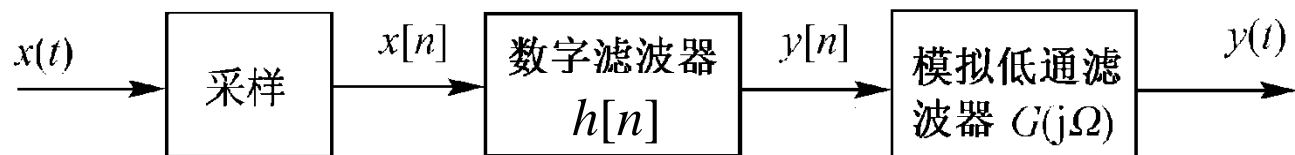




$$Y(e^{j\Omega T}) = H(e^{j\Omega T})X(e^{j\Omega T})$$

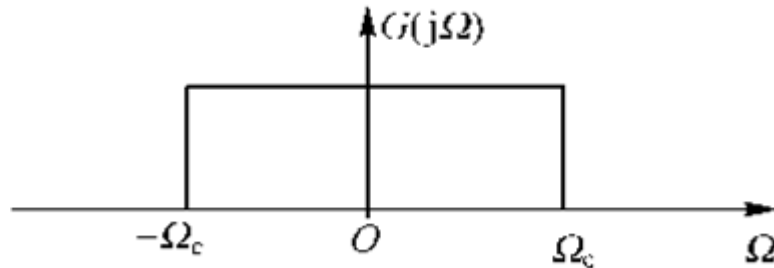


## 7.5.1 数字滤波器原理



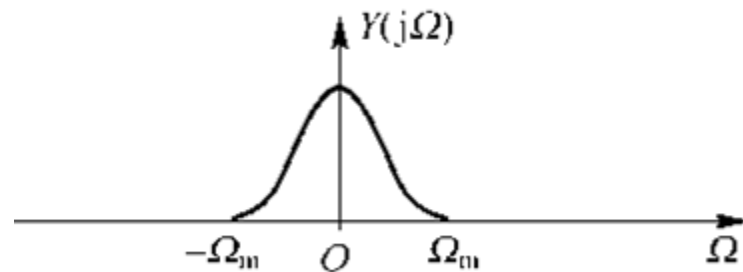
$$G(j\Omega) = \begin{cases} 1 & |\Omega| \leq \Omega_c \\ 0 & |\Omega| > \Omega_c \end{cases},$$

其中:  $\Omega_m \leq \Omega_c \leq \Omega_s - \Omega_m$



从而:  $Y(j\Omega) = G(j\Omega)Y(e^{j\Omega T})$

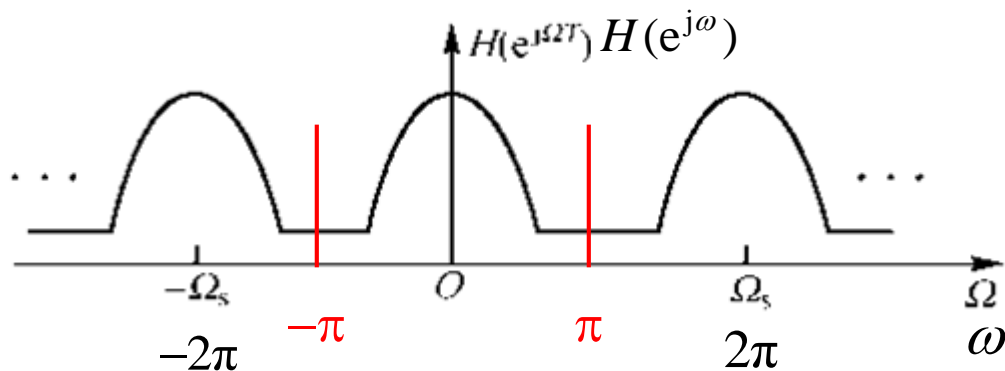
因为:  $\Omega_m \leq \Omega_c \leq \Omega_s - \Omega_m$



## 7.5.2 理想数字低通滤波器

### 1. 数字滤波器

与连续系统的滤波特性一样，离散系统（数字滤波器）按其频响特性（幅频响应特性）也有低通、高通、带通、带阻和全通之分。由于频响特性 $H(e^{j\omega})$ 的周期性，因此，这些特性只限于在 $-\pi < \omega \leq \pi$  范围内区分。



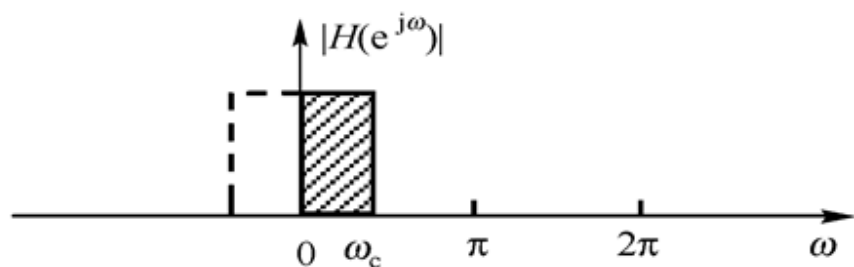
### 2. 理想数字滤波器

$$H(e^{j\omega}) = \begin{cases} 1, & \omega_L < |\omega| < \omega_h \\ 0, & |\omega| < \omega_L, \omega_h \leq |\omega| \leq \pi \end{cases}$$

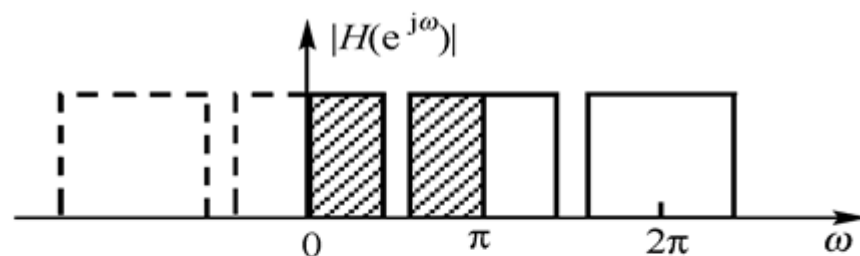
← 通带  
← 阻带

## 7.5.2 理想数字低通滤波器

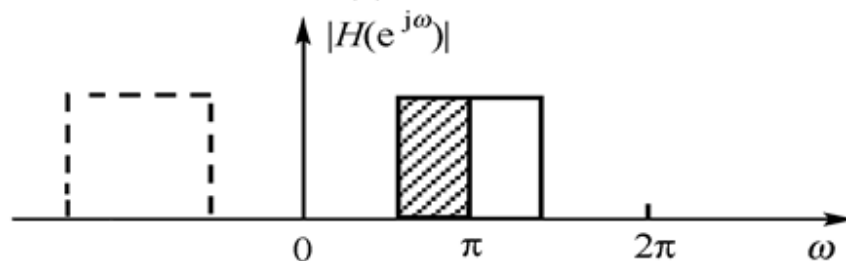
### 2. 理想数字滤波器



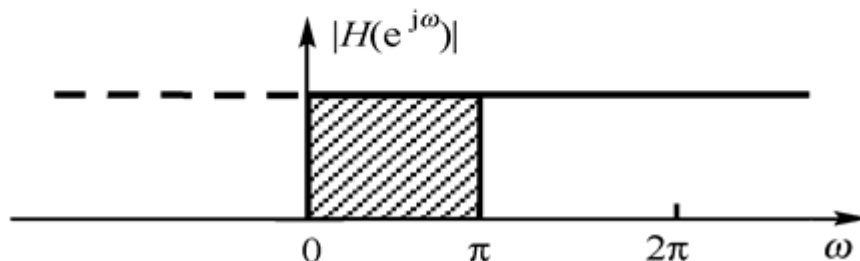
(a) 低通



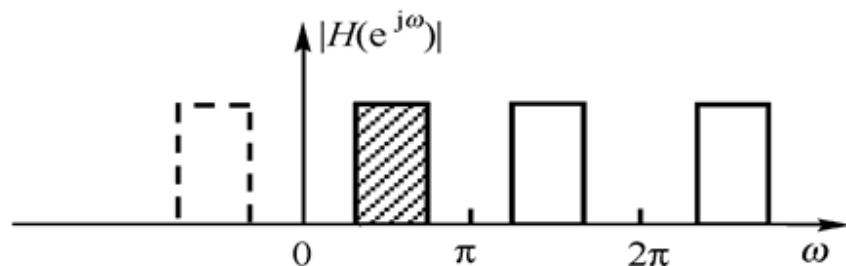
(d) 带阻



(b) 高通



(e) 全通

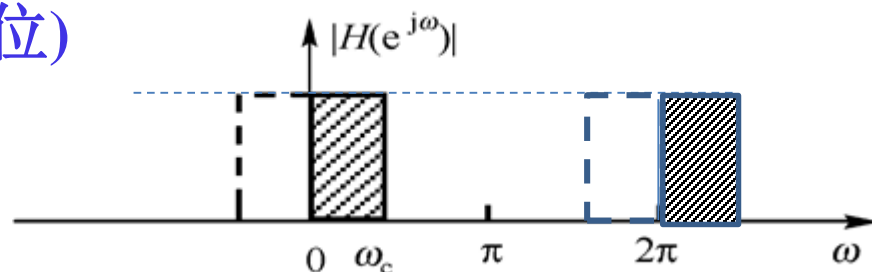


(c) 带通

## 7.5.2 理想数字低通滤波器

### 3. 理想低通数字滤波器(0相位)

$$H_{\text{LP}}(e^{j\omega}) = \begin{cases} 1, & |\omega| < \omega_c \\ 0, & \omega_c \leq |\omega| \leq \pi \end{cases}$$



其中： $\omega_c$  称为截止频率

相频特性  $\varphi(\omega) = 0$

其单位样值响应  $h_{\text{LP}}[n]$  为

$$\begin{aligned} h_{\text{LP}}[n] &= \frac{1}{2\pi} \int_{-\pi}^{\pi} H_{\text{LP}}(e^{j\omega}) e^{j\omega n} d\omega \\ &= \frac{1}{2\pi} \int_{-\omega_c}^{\omega_c} e^{j\omega n} d\omega = \frac{\sin(\omega_c n)}{\pi n} \end{aligned}$$

其中： $n$  的取值范围是  $(-\infty, \infty)$

理想数字低通滤波器是非因果系统，因此实际上并不存在，这一特点与理想模拟低通滤波器相同。

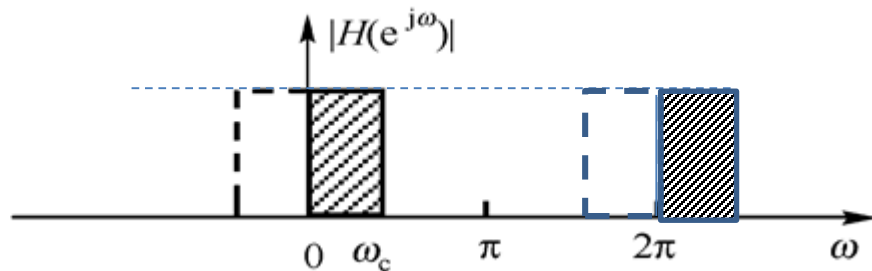
在例7.1-3中，画过当  $\omega_c = \pi/4$  的序列图形，请参考。



## 7.5.2 理想数字低通滤波器

### 4. 理想低通数字滤波器（有相位）

$$H_{\text{LP}}(e^{j\omega}) = \begin{cases} e^{-j\omega n_0}, & |\omega| < \omega_c \\ 0, & \omega_c \leq |\omega| \leq \pi \end{cases}$$



其中： $\omega_c$  称为截止频率

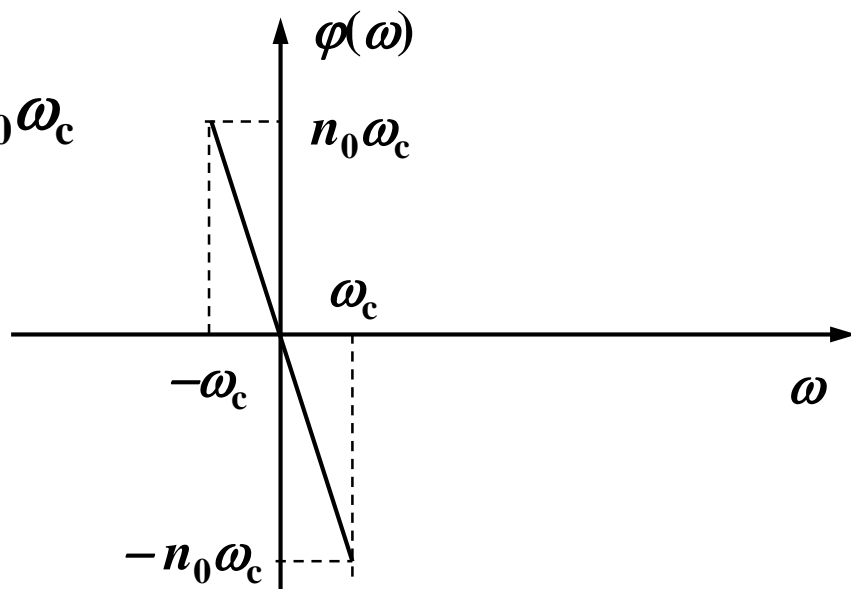
相频特性  $\varphi(\omega) = -n_0\omega_c$

其单位样值响应  $h_{\text{LP}}[n]$  为

$$h_{\text{LP}}[n] = \frac{1}{2\pi} \int_{-\pi}^{\pi} H_{\text{LP}}(e^{j\omega}) e^{j\omega n} d\omega$$

$$= \frac{1}{2\pi} \int_{-\omega_c}^{\omega_c} e^{-j\omega n_0} e^{j\omega n} d\omega$$

$$= \frac{\sin(\omega_c (n - n_0))}{\pi(n - n_0)}$$



其中： $n$  的取值范围是  $(-\infty, \infty)$

## 7.5.3 IIR数字滤波器与FIR数字滤波器

1. 有限长冲激响应（FIR）数字滤波器：  
是指冲激响应 $h[n]$ 是有限长序列；
2. 无限长冲激响应（IIR）数字滤波器：  
是指冲激响应 $h[n]$ 是无限长序列。

**例7.5-1** 求下述差分方程表示的LTI离散系统的单位样值响应 $h[n]$ 及其频响特性 $H(e^{j\omega})$ 。

$$(1) \quad y[n] + 0.3y[n-1] - 0.1y[n-2] = x[n]$$

$$(2) \quad y[n] = 2x[n] + 3x[n-1] + 2x[n-2]$$

**解：**（1）**(a)** 求齐次解： $y_h[n] = A_1(-0.5)^n + A_2(0.2)^n$

特征方程为： $\alpha^2 + 0.3\alpha - 0.1 = 0$ ,

特征根： $\alpha_1 = -0.5, \alpha_2 = 0.2$

## 7.5.3 IIR数字滤波器与FIR数字滤波器

$$(1) \quad y[n] + 0.3y[n-1] - 0.1y[n-2] = x[n]$$

**(a) 求齐次解:**  $y_h[n] = A_1(-0.5)^n + A_2(0.2)^n$

**(b) 求特解:** 右端 =  $\delta[n] = \begin{cases} 0, & n \neq 0 \\ 1, & n = 0 \end{cases}$

则  $y_p[n] = 0, \quad n > 0$

**(c) 完全解:**  $h_2[n] = y_h[n] + y_p[n] = A_1(-0.5)^n + A_2(0.2)^n, \quad n \geq 1$

依据  $\begin{cases} h[0] = x[0] = 1 \\ h[1] = x[1] - 0.3h[0] = -0.3 \\ h[2] = -0.3h[1] + 0.1h[0] = 0.19 \end{cases} \Rightarrow \begin{cases} A_1 = 5/7 \\ A_2 = 2/7 \end{cases}$

$$h[n] = \frac{1}{7} [5 \times (-0.5)^n + 2 \times (0.2)^n] u[n] \xleftrightarrow{\text{DTFT}} H(e^{j\omega}) = \frac{1}{(1 + 0.5e^{-j\omega})(1 - 0.2e^{-j\omega})}$$

——冲激响应 $h[n]$ 是无限长序列，是IIR数字滤波器。

## 7.5.3 IIR数字滤波器与FIR数字滤波器

$$(2) \quad y[n] = 2x[n] + 3x[n-1] + 2x[n-2]$$

(2) 当输入信号 $x[n] = \delta[n]$ 代入差分方程后, 得到单位样值响应

$$h[n] = 2\delta[n] + 3\delta[n-1] + 2\delta[n-2] = \{2, 3, 2\}, 0 \leq n \leq 2$$

$$\xleftrightarrow{\text{DTFT}} H(e^{j\omega}) = 2 + 3e^{-j\omega} + 2e^{-j2\omega} = e^{-j\omega} (4\cos\omega + 3)$$

——冲激响应 $h[n]$ 是有限长序列, 是FIR数字滤波器。

比较方程(1)和(2), 得到这一结论:

- ◆ FIR系统的差分方程具有非递归的特点, 即输出信号 $y[n]$ 是输入信号 $x[n]$ 的延时加权 $b_r x[n-r]$ 之和
- ◆ IIR系统的差分方程具有递归的特点, 也即输出信号 $y[n]$ 不单与输入信号 $x[n]$ 的延时加权 $b_r x[n-r]$ 之和有关, 还与过去的输出样本 $y[n-r]$ 有关

## 7.6 离散信号与系统频域的MATLAB分析

专用函数filter: 计算对于指定时间范围的激励序列的响应;

专用函数conv: 计算两个有限时间区间非零的离散时间序列卷积和。

**例7.6-1** 绘制序列DTFT的幅度谱和相位谱, 并观察频谱的共轭性, 其中序列为。

$$x[n] = (-0.8)^n, \quad -5 \leq n \leq 5$$

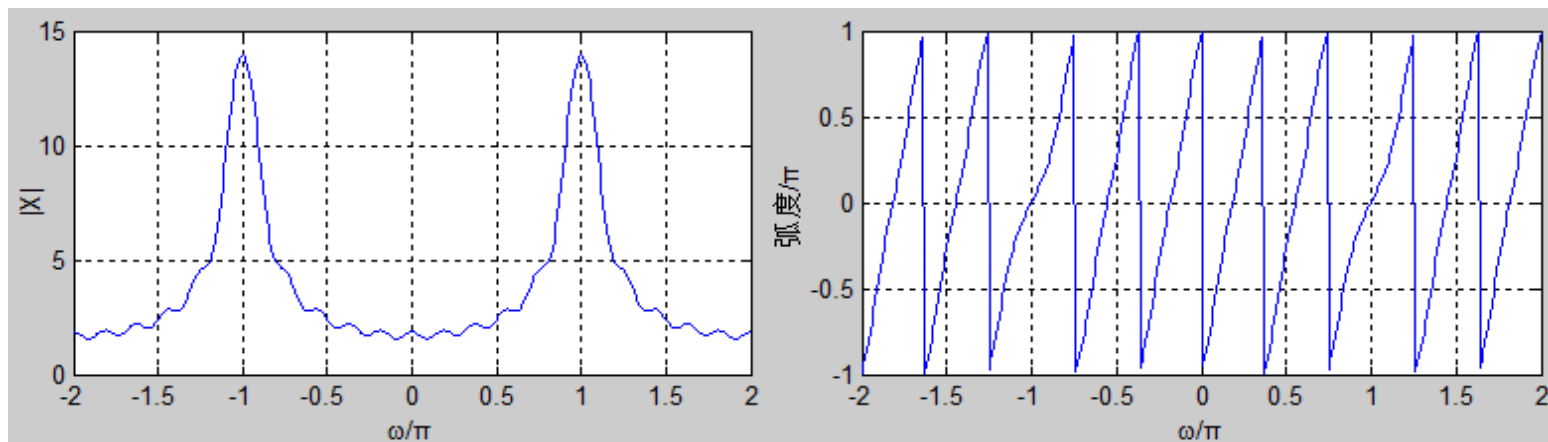
**解:**  $x[n]$ 是离散值, 它的频谱满足周期性, 被定义在一个周期上。我们将在, 之间的两个周期中的401个频点上计算, 并观察其共轭性。

```
n = -5:5; x = (-0.8).^n; k = -200:200; w = (pi/100)*k;  
X = x*(exp(-j*pi/100)).^(n'*k); magX = abs(X); angX = angle(X);  
subplot(211); plot(w/pi, magX); grid;  
xlabel('\omega/\pi'); ylabel('|X|'); axis([-2 2 0 15]);  
subplot(212); plot(w/pi, angX/pi); grid;  
xlabel('\omega/\pi'); ylabel('弧度/\pi'); axis([-2 2 -1 1]);
```

## 7.6 离散信号与系统频域的MATLAB分析

**例7.6-1** 绘制序列DTFT的幅度谱和相位谱，并观察频谱的共轭性，其中序列为。

$$x[n] = (-0.8)^n, \quad -5 \leq n \leq 5$$



**例7.6-2** 已知离散系统的差分方程如下

$$y[n] + 0.12y[n-1] + 0.33y[n-3] + 0.46y[n-4] = x[n] + 0.7x[n-1] + 0.4x[n-2]$$

试画出该系统的幅频特性和相频特性，并判断系统是什么类型滤波器。

## 7.6 离散信号与系统频域的MATLAB分析

**例7.6-2** 已知离散系统的差分方程如下

$$y[n] + 0.12y[n-1] + 0.33y[n-3] + 0.46y[n-4] = x[n] + 0.7x[n-1] + 0.4x[n-2]$$

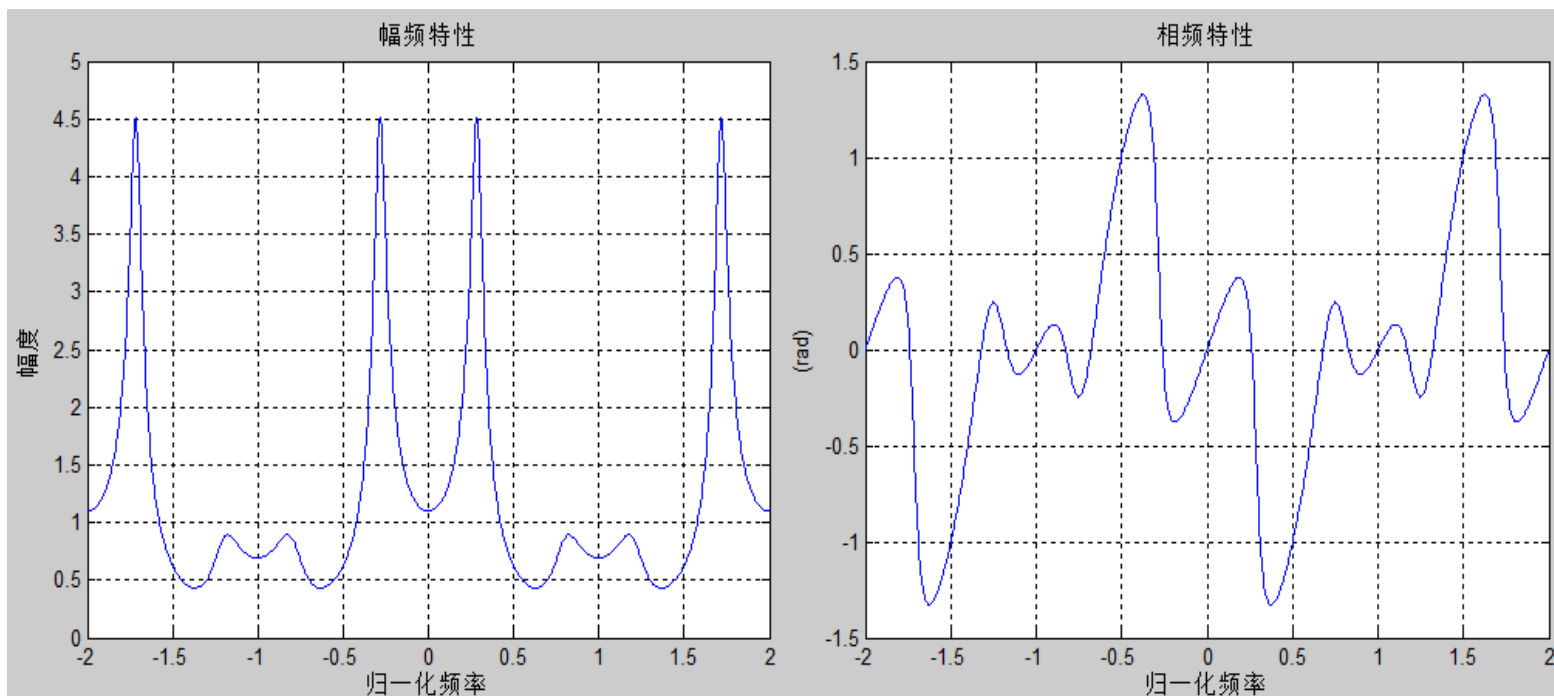
试画出该系统的幅频特性和相频特性，并判断系统是什么类型滤波器。

**解：**绘制系统的频响特性曲线可以调用库函数freqz，所编写的程序mat703.m如下。

```
b=[1,0.5,0.8];a=[1,0.12,0,0.33,0.46];  
w=linspace(-pi,2*pi,1024);H=freqz(b,a,w);subplot(1,2,1);plot(w/pi,abs(H));grid on;  
xlabel('归一化频率');ylabel('幅度');title('幅频特性');  
subplot(1,2,2);plot(w/pi,angle(H));grid on;  
xlabel('归一化频率');ylabel('(rad)');title('相频特性');
```

## 7.6 离散信号与系统频域的MATLAB分析

离散系统的频响特性如图7.6-2所示，在 $-2\pi$ 到 $2\pi$ 的范围绘制了频响特性，更便于观察该系统的频响特性，由图可见系统具有带通滤波器特性，由于差分方程的系数均为实数，系统的幅频特性偶对称，相频特性奇对称。





# 本章小结

---

1. 离散序列的DTFT:
2. DTFT的特点——周期连续函数
3. 稳定LTI离散系统的频响特性:
4. LTI离散系统的频域分析:

数字滤波器